

سامانه بینایی کامپیوچر جهت برداشت خودکار گوجه‌فرنگی گلخانه‌ای در شرایط نور طبیعی

حسنی محمدی منور^{۱*} - رضا علیمردانی^۲ - محمود امید^۳

تاریخ دریافت: ۹۰/۶/۱۵

تاریخ پذیرش: ۹۱/۵/۱۶

چکیده

بیش از دو دهه است که بخش کشاورزی استفاده از سامانه‌های خودکار را تجربه می‌کند. از موارد کاربرد این سامانه‌ها در کشاورزی می‌توان به برداشت میوه اشاره نمود. بینایی کامپیوچر یکی از پرکاربردترین فن آوری‌های مورد استفاده در صنایع غذایی و کشاورزی نوین است. در مقاله حاضر سیستمی خودکار مبتنی بر بینایی کامپیوچر جهت برداشت گوجه‌فرنگی گلخانه‌ای ارائه می‌شود. دوربین CCD به عنوان حسگر بینایی از فضای کاری عکس می‌گیرد و گوجه‌ها با رسیدگی بالای ۵۰ درصد توسط پردازش تصاویر شناسایی می‌شوند. در این پژوهش از سه فضای رنگی HSI، RGB و YCbCr استفاده شده است. نتایج نشان می‌دهد متوسط خطای الگوریتم‌های آستانه‌یابی، رابطه قرمز/ سبز جهت تشخیص گوجه‌فرنگی‌های رسیده از زمینه و تحت شرایط نور طبیعی ۷/۹۵ و سه الگوریتم آستانه‌یابی، اتحای سطح تصویر و رابطه قرمز/ سبز اتحای سطح تصویر به ترتیب ۱۱/۸۲، ۱۱/۰۳ و ۱۰/۰۳ و در سه فضای رنگی YCbCr و RGB بود. فضای رنگی YCbCr و الگوریتم اتحای سطح تصویر در تمایز گوجه‌فرنگی رسیده از زمینه و در شرایط نور طبیعی، موفق‌تر عمل می‌کند.

واژه‌های کلیدی: بینایی کامپیوچر، فضای رنگی HSI، RGB و YCbCr، گوجه‌فرنگی گلخانه‌ای، نور طبیعی

مقدمه

فناوری رباتیک برای بسیاری از مواد زیستی^۴ در جهان بکار برده شده است. در یک سامانه تمام خودکار، دسته‌های نهال گل از یک طرف وارد می‌شود و سپس یک ربات نهال‌ها را تک تک برداشته و بر روی یک نوار نقاله قرار می‌دهد (Ting *et al.*, 1990). استفاده از بازوهای مکانیکی ماهر در برداشت محصولات کشاورزی نیز کاربرد زیادی دارد. یکی از این کاربردها در برداشت خودکار گل Phalaneosis می‌باشد. از آنجا که این گیاه بسیار حساس بوده و انتقال دستی نشا آن فارغ از آسیب‌های فیزیکی سبب آلودگی و بیماری گیاه می‌شود، انتقال نشاها به محل کشت توسط ربات انجام می‌شود (Huang and Fang-Fan, 2010). بازوی خودکار برداشت گل رز نمونه‌ای دیگر می‌باشد. این بازو مجهرز به دو دوربین جهت تصویربرداری سه بعدی است (Kohan, 2011). ربات برداشت گل ژربرا که مجهرز به دوربین برای شناسایی محل برش گل می‌باشد، نمونه دیگری از برداشت خودکار گل است (Rath and Kawollek, 2009). همچنین برداشت توت‌فرنگی کاری سخت و طاقت فرساست و می‌باشد در چند نوبت انجام شود، لذا برداشت رباتیکی آن مقرن به صرفه می‌باشد. بازوی رباتیکی برداشت توت‌فرنگی مجهرز به واحد بینایی شامل سه دوربین و پنج منبع نور می‌باشد (Hayashi *et al.*, 2010).

امروزه در بسیاری از فعالیت‌های صنعتی استفاده از نیروی انسانی جای خود را به نیروی مکانیکی و در بسیاری از موارد به نیروی مکانیکی ماهر یا ربات‌ها واگذار نموده است. بخش کشاورزی نیز همچون بخش صنعت نیاز مبرمی در بکارگیری سامانه‌های خودکار دارد. در کشورهای پیشرفته چند دهه است که فعالیت در زمینه اتوماسیون بخش مذکور آغاز شده است. در این میان استفاده از سامانه‌های خودکار برای برداشت میوه از اهمیت زیادی برخوردار است. از آنجا که آسیب مکانیکی به بازار پسندی میوه ضربه می‌زند، لذا سامانه خودکار می‌باشد بدون صدمه به میوه و شاخه، محصول را برداشت نماید.

استفاده از رباتیک در بخش‌های مختلف کشاورزی به دو دهه قبل بر می‌گردد که در آن زمان مطالعه بر روی ربات برداشت کننده گوجه‌فرنگی در ژاپن آغاز گردید (Monta, 2000). از آن زمان به بعد

۱، ۲ و ۳- به ترتیب دانشجوی دکتری و استادان دانشکده مهندسی و فناوری کشاورزی، دانشگاه تهران، پردیس کشاورزی و منابع طبیعی کرج (Email: mohamadi_085@ut.ac.ir)
*- نویسنده مسئول:

هم متناسب شوند، بنابراین روابط دیفرانسیلی برای تغییر مکان‌های Asada and Aslutayn, 1997 مفصل و مکان پنجه استخراج می‌شود ().

طراحی مدار الکتریکی و سامانه کنترل

برای کنترل پنجه ربات گوجه چین به مدار الکترونیکی نیاز است. برای کنترل حرکات انگشتی‌ها (دوران موتورها)، حسگرهای قطع و AVR وصل شیرهای نیوماتیک این مدار استفاده از دو میکروکنترلر AVR مدل ATmega32 پیشنهاد می‌شود. برای کنترل سرعت موتور و همچنین تغییر گردش آن‌ها از IC L298N استفاده می‌شود. میکروکنترلرها توسط پروگرام STK200 و زبان IAR که کامپایلر آن C است، برنامه‌ریزی شدن (Rahafrooz, 2006).

طراحی مدار نیوماتیک

یکی از قسمت‌های پنجه طراحی شده واحد نیوماتیک است که قبل از انگشتی‌ها وارد عمل می‌شود و گوجه شناسایی شده را با عمل مکش جذب می‌کند و بعد از اعمال گشتوار توسط انگشتی‌ها و جدا شدن میوه از ساقه این واحد گوجه را به مخزن منتقل می‌کند. اجزای در نظر گرفته شده برای مدار نیوماتیک عبارتند از: سیلندر نیوماتیک، شیر سولونوئیدی، و کیوم ساز، کلاهک مکش و شیر کنترل دبی (<http://www.Festo.com>) (<http://www.Waircom.com>) (شکل ۲).

تشخیص گوجه رسیده با پردازش تصویر

سامانه بینایی شامل رایانه شخصی و یک ریز پردازنده^۳ و حسگر بینایی بود. تصاویر در گلخانه با دوربین CCD رنگی با حداکثر ۱۵۳۶ × ۲۰۴۸ پیکسل مجاز (مدل GA4162PF، ساخت کره‌جنوبی)، به دست آمد. واسنجی^۴ دوربین به عنوان گام اول جهت افزایش دقیقت سامانه انجام شد. واسنجی بر روی یک شی سه بعدی که دارای صفحات متعدد بر یکدیگر است (نظیر یک جعبه که دارای مربع‌های کوچک همانند صفحه شترنجی بر روی وجود خود است) انجام شد (Turcco and Verri, 1998). در واسنجی، پارامترهای داخلی دوربین نظیر فاصله کانونی، ضریب اعوجاج و ضریب مقیاس به منظور تصحیح تصاویر برداشت شده از محصول بررسی گردید. با هدف ایجاد شرایط یکسان نور، همه تصاویر در ساعت ۱۰ تا ۱۱ صبح ضبط شد. تصاویر از فاصله حدود ۱۳۵ سانتی‌متری به دست آمد و از هر نمونه سه تصویر گرفته شد.

استفاده از سه الگوریتم پردازش تصویر برای جداسازی میوه‌ها بر اساس رنگ از زمینه مطالعه شد. تتابع حاکی از آن بود که این روش‌ها برای میوه‌های مانند سیب، گوجه، توت‌فرنگی و پرتقال موفق عمل می‌کند (Jian-jun et al., 2009). استفاده از سامانه بینایی (Tabb et al., 2006) گوجه گیلاسی (Tanigaki et al., 2006) و پرتقال (Hannan and Burks, 2004) گزارش شده است. تشخیص بافت سیب زمینی نیز توسط روش پردازش تصاویر بر اساس رنگ انجام شد و میزان خطای تشخیص آن ۵/۲۶ درصد اعلام شد (Ebrahimi et al., 2011).

گوجه یکی از محصولات مهم باقی در کشور ایران است. بنابر گزارش وزارت کشاورزی (Anonymous, 2010) میزان برداشت آن ۱۸/۵ میلیون تن در سال ۸۹ اعلام شده است. علاوه بر بررسی گوجه‌فرنگی گلخانه‌ای نوع خاصی از گوجه‌فرنگی گیلاسی نیز مطالعه شد که از نظر شکل بسیار شبیه انواع مارتنینو روما^۱ و سن مارزانو^۲ می‌باشد که در ایتالیا و اسپانیا برای تولیداتی نظیر سیس و رب کاربرد دارد (شکل ۱).

طرح اولیه پژوهش حاضر از چهار بخش اصلی تشکیل شده است. بخش اول شامل طراحی بخش مکانیکی یک پنجه مناسب به مظلور گرفتن و رها کردن گوجه می‌باشد. بخش دوم شامل طراحی مدار الکترونیکی مکانیزم و بخش سوم مدار نیوماتیک می‌باشد و بخش آخر به پردازش تصاویر جهت شناسایی محصول بر اساس رنگ می‌پردازد. در این مقاله به بخش پردازش تصویر که به صورت عملی انجام شده است به صورت مبسوط می‌پردازیم و به سایر بخش‌ها اشاره خواهیم داشت. در شناسایی میوه در شرایط نور طبیعی معمولاً تغییر میزان نور و زاویه تابش آن فاکتورهای مهمی هستند. با انتخاب الگوریتم مناسب پردازش تصویر می‌توان اثر این تغییرات را کاهش داد. از طرف دیگر ناحیه قابل مشاهده میوه به علت قرار گرفتن در سایه شاخه و برگ گیاه متغیر است و تشخیص بر اساس شکل میوه دشوار است، لذا فاکتور رنگ لحاظ گردید.

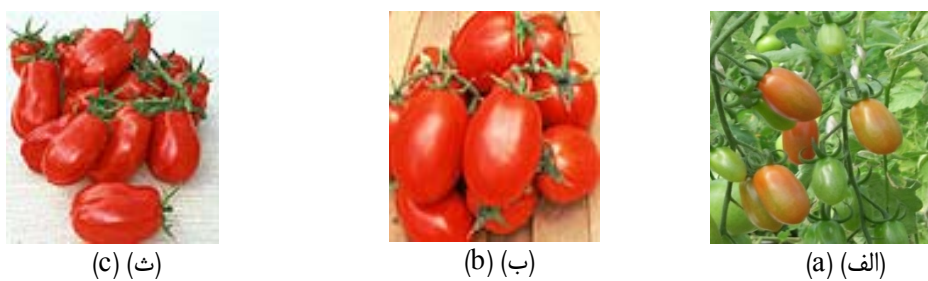
مواد و روش‌ها

طراحی مکانیکی

در ابتدا با استفاده از روش دناویت هارتبرگ موقعیت و جهت پنجه به عنوان تابعی از تغییر مکان مفاصل بیان می‌شود که این کار با حل معادله سینماتیک مجموع امکان‌پذیر می‌شود. پس از دسترسی به موقعیت نهایی پنجه برای اینکه بتوان پنجه را در جهت‌های معین و با سرعت‌های مشخص کنترل نمود لازم است که حرکت مفاصل با

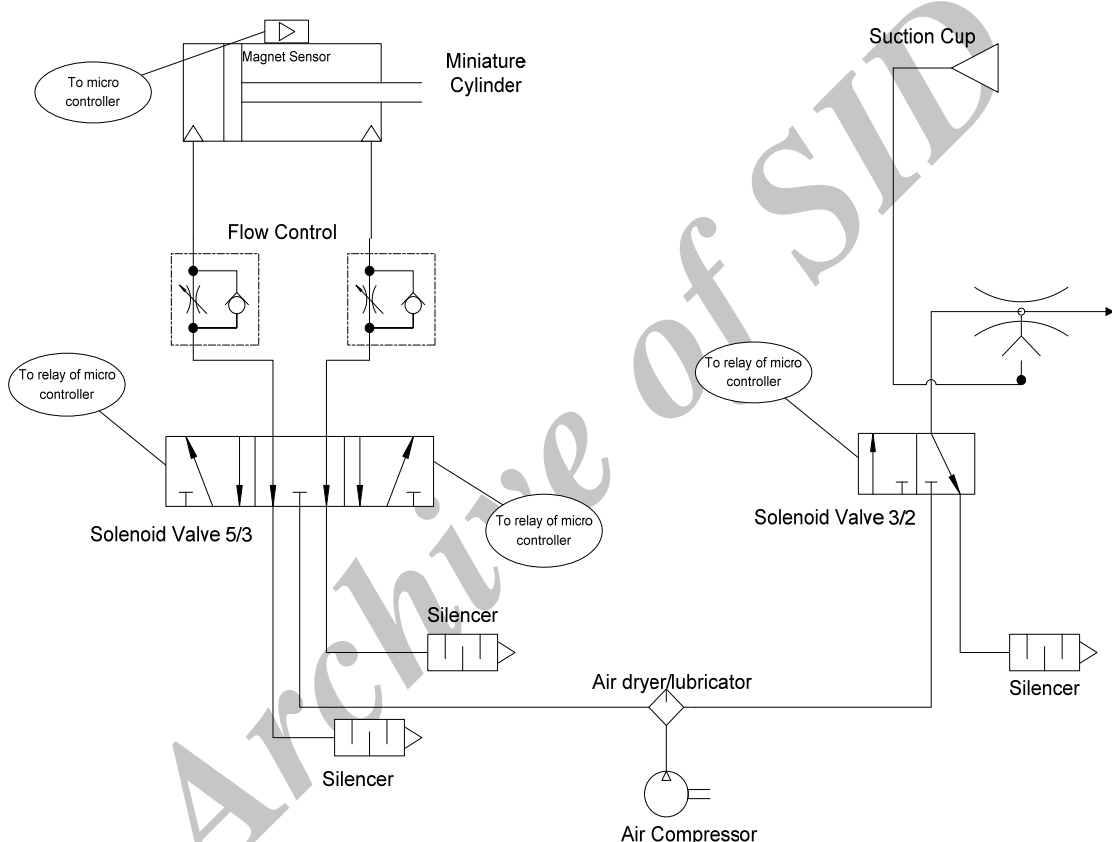
3- Microprocessor
4- Calibration

1- Martino's Roma
2- San Marzano



شکل ۱ - شباهت گوجه گیلاسی (الف) ایرانی با انواع (ب) مارتینو روما و (ث) سن مارزانو

Fig.1. Similarity between cherry-tomato (a) Iranian Type with (b) Martino's Roma and (c) San Marino



شکل ۲ - نمودار شماتیک مدار نیوماتیک

Fig.2. Schematic diagram of Pneumatic circuit

خواهد شد. دوربین پس از تصویربرداری اولیه دوباره واسنجی شد و سپس از فاصله ۵۵ سانتی‌متری بوته تصویربرداری انجام گردید. از فضاهای رنگی RGB^۱, YCbCr^۲ و HSI^۳ برای تشخیص گوجه (با قرمزی بالاتر از ۵۰ درصد) در میان شاخ و برگ استفاده شد. تبدیل

این سه تصویر در سه موقعیت، قبل از رسیدن دوربین به بوته، وقتی دوربین مقابله قرار گرفت و بعد از عبور از آن ثبت شد. در هر یک از تصاویر، تمام گوجه‌های موجود در میدان دید دوربین شمارش شدند. گوجه‌ها با قرمزی بالاتر از ۵۰ درصد در تصاویر پردازش شده به عنوان هدف مشخص می‌شدند تا در مرحله بعد در فاصله ۵۵ سانتی‌متری از گوجه رسیده تصویر تهیه شود. در تصویر دوم محل اتصال ساقه به محصول جهت برداشت خودکار مشخص

1- Red-Green-Blue

2- Hue-Saturation-Intensity

خاکستری بر اساس الگوریتم اتسو^۱ (Otsu, 1979) در باند قرمز انجام شد. این الگوریتم سرعت کافی جهت اجرا در زمان و شرایط واقعی را دارد.

الگوریتم انحنای سطح تصویر: این روش نه تنها مستقل از میزان نور است بلکه تحت تأثیر رنگ در شرایط نوری یکسان قرار نمی‌گیرد. به کمک این ویژگی می‌توان گوجه‌های سبز (نارس) در تصویر را شناسایی نمود. این الگوریتم تصویر را به عنوان یک سطح $Z(x,y)$ در نظر می‌گیرد، که در آن $Z(x,y)$ است. در این سطح گوجه یک برش عمودی در صفحه (x,y) ایجاد می‌کند. یکی از راه‌های تشخیص پیکسل‌های متعلق به هدف (در اینجا گوجه با قرمزی بیشتر از 50° درصد) در این الگوریتم روش تشخیص لبه می‌باشد. تصویر خروجی این الگوریتم بر اساس معادله (۶) بیان می‌شود.

$$R(x,y) = \frac{\partial^2[G(x)*I(x,y)]}{\partial x^2} \quad (6)$$

که در آن $I(x,y)$ تصویر دو بعدی سطح خاکستری و $*$ عملگر کانولوشن می‌باشد.

الگوریتم رابطه قرمز / سبز: این الگوریتم تصاویر را همزمان در دو باند قرمز / سبز فیلتر می‌کند. این تصاویر از قبل تحت گاووسی پایین گذر قرار گرفته‌اند تا میزان نویز ناشی از سایه و بازتاب نور از سطح برگ و میوه کاهش یابد. فیلتر گوسی مورد استفاده ماتریسی با انحراف میلار 200×200 بود که فرکانس تصویر را تا کمتر از 200 مگاهرتز محدود نمود. معادله سطح خاکستری تصاویر در الگوریتم رابطه قرمز / سبز به صورت معادله (۷) به دست می‌آید.

$$I(x,y) = \sum_{y=k}^{y+v} \sum_{x=l}^{x+v} I(k,l) G(x-l, y-k) \quad (7)$$

که در آن $I(x,y)$ سطح خاکستری پیکسل (x,y) می‌باشد و

$$G(x,y) = e^{-\frac{(x-y)^2}{2\sigma^2}} \quad (8)$$

در این الگوریتم طبقه‌بندی به صورت پیکسل به پیکسل انجام شد. پیکسلی متعلق به گوجه‌فرنگی می‌باشد که متناسب با رابطه (۹) باشد.

$$RG_{ratio} = \frac{R}{G} = F \mp E \quad (9)$$

که در آن \pm سطح خاکستری در تصویر قرمز رنگ است، E همین مقدار در تصویر سبز و $F = 1.155^\alpha$ ضریب تصحیح است. F فاکتور تناسب بین R و G برای میوه و E میزان خطای می‌باشد. این روش برای انجام این تقسیم‌بندی مستقل از بازتاب نور طراحی شده است.

فضاهای رنگی در نرم‌افزار متلب^۲ (ورژن ۷.۴) صورت گرفت. دوربین تصاویر را در فضای RGB ثبت نمود. تصاویر اولیه شامل پس زمینه است که لازم است حذف شوند. به عمل حذف پس زمینه از تصویر آشکارسازی^۳ گفته می‌شود. در اینجا آشکارسازی بر اساس تفاوت رنگ گوجه از پس زمینه انجام شد. جهت افزایش حساسیت تشخیص رنگ میوه و حذف عوامل ناخواسته نظیر نویزهای ناشی از تعییرات نور و سایه برگ‌ها بر روی محصول از تبدیل فضاهای رنگی YCbCr و HSI استفاده شد. هنگامی که آشکارسازی تصویر بر اساس رنگ است، اما مقادیر رنگی در فضای RGB معیار مناسبی برای آشکارسازی نیست، در فضای رنگی YCbCr، آشکارسازی به سادگی قابل انجام است. از طرف دیگر خاصیت فشرده‌سازی تصویر را دارد و حجم تصویر آن تقریباً نصف تصویر مشابه در فضای RGB می‌باشد. در واقع با تغییر فضای رنگی تصویر از RGB به YCbCr و اعمال یک حد آستانه بر روی مقدار Cb پیکسل‌ها، تاچیه قرمز رنگ گوجه آشکارسازی می‌گردد. معادلات ۱ تا ۵ روابط تبدیل فضاهای رنگی را نشان می‌دهد.

$$\begin{bmatrix} R \\ G \\ B \end{bmatrix} = \begin{bmatrix} 0.299 & 0.587 & 0.114 \\ -0.169 & -0.331 & 0.500 \\ 0.500 & -0.419 & -0.081 \end{bmatrix} \times \begin{bmatrix} Y \\ Cb \\ Cr \end{bmatrix} \quad (1)$$

$$H = \begin{cases} 360 - \theta & \text{if } B < G \\ 360 - \theta & \text{if } B > G \end{cases} \quad (2)$$

$$\theta = \cos^{-1} \left[\frac{0.5[(R-G)+(B-R)]}{[(R-G)^2 + (R-B)(G-B)]^{1/2}} \right] \quad (3)$$

$$S = 1 - \frac{3}{(R+G+B)} [\min(R, G, B)] \quad (4)$$

$$I = \frac{(R+G+B)}{3} \quad (5)$$

آزمایش‌ها در گلخانه گوجه‌فرنگی در شرایط نور طبیعی واقع در شهرک گلخانه‌ای هشتگرد استان البرز و در تابستان ۸۹ انجام شد. از ۲۸ بوته گوجه‌فرنگی تصویربرداری انجام و در سه فضای رنگی پردازش شد.

الگوریتم‌های مکان‌یابی میوه

در این مقاله، سه الگوریتم تقسیم‌بندی یعنی، آستانه‌یابی^۳، انحنای تصویر^۴ و رابطه قرمز / سبز^۵ به منظور تقسیم تصویر به دو دسته میوه و پس زمینه، مورد استفاده قرار گرفت. الگوریتم‌ها به منظور نشان‌دادن مرکز میوه، بر اساس محاسبات لبه بیرونی، مرز و مساحت، در سه فضای رنگی مورد استفاده قرار گرفتند.

الگوریتم آستانه‌یابی: تقسیم‌بندی با انتخاب سطح آستانه

1- Matlab

2- Detection

3- Thresholding

4- Curvature of the Image Surface

5- Red/Green Relation

در شرایط نور طبیعی توسط دو الگوریتم تشخیص لبه و الگوریتم تشخیص رنگ و شکل صورت گرفت (Lak *et al.*, 2010). نتایج نشان داد الگوریتم تشخیص لبه موفق نیست، اما تشخیص سیب بر اساس رنگ و شکل دارای دقت $83/3$ درصد بود. درصد گوجه تشخیص داده شده در الگوریتم‌های ارتباط قرمز / سبز و الگوریتم احنا بیشتر از $83/3$ درصد بهدست آمد. علت آن را می‌توان به فضای کنترل شده گلخانه نسبت به باگ مرکبات و کاربرد فضای رنگی YCbCr بجای RGB مربوط دانست.

نتایج تقسیم‌بندی تصویر به دو بخش میوه و پس زمینه در فضاهای رنگی RGB و YCbCr در شکل ۴ نشان داده شده است. تصاویر (الف) و (ب) از فاصله ۱۳۵ سانتی‌متری تهیه شده اند و تنها گوجه‌ها با قرمزی بالاتر از 50 درصد در آن شناسایی می‌شوند، پس از اطمینان از وجود گوجه رسیده در تصویر اولیه دوربین در فاصله نزدیک‌تری قرار می‌گیرد و تصویر نزدیک‌تر را با اعمال فیلتر سبز تهیه می‌کند تا محل اتصال میوه به ساقه برای برداشت مشخص شود (شکل ۴ ج و د). افزودن فیلتر سبز اگرچه باعث افزایش نویز در تصویر می‌شود ولی با توجه به داشتن مرکز مختصات گوجه‌های رسیده از تصویر اولیه می‌توان دمیرگ آن‌ها را شناسایی نمود. در جدول (۲) دقت سامانه بینایی در تشخیص دمیرگ بررسی گردید. از ۲۸ بوته مورد مطالعه پنج بوته به طور تصادفی انتخاب شد و نتایج آن در جدول ۲ نشان داده شد. در این تصاویر تعداد گوجه‌ها با بیش از 50 درصد قرمزی مشخص شده بودند و هدف، شناسایی محل اتصال آن‌ها به شاخه در تصویر نزدیک‌تر بود. در این مرحله دو نوع خطا مشاهده شد. اول، تشخیص اشتباه دمیرگ که به علت اینبوه بودن برخی بوته‌ها اتفاق افتاد و دوم، عدم تشخیص دمیرگ بود که به علت عدم وجود نور کافی و وجود سایه سایر شاخ و برگ‌ها در محل اتصال گوجه به گیاه مشاهده شد.

ارزیابی عملکرد الگوریتم‌ها

ارزیابی عملکرد سه الگوریتم آستانه‌یابی، انحنای سطح تصویر و رابطه قرمز / سبز در سه فضای رنگی طبق رابطه (۱۰) بررسی گردید.

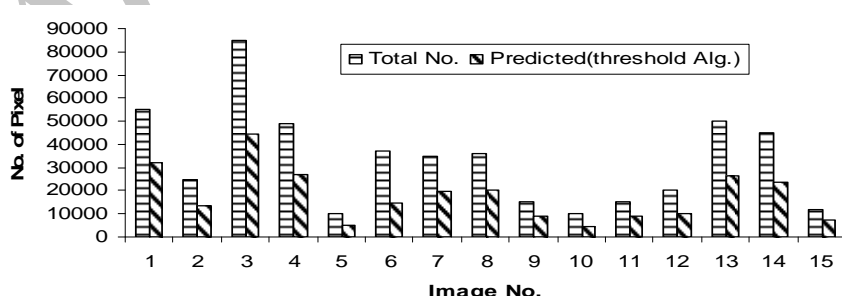
$$\%e = \frac{|A - N|}{N} \times 100$$

که در آن e میزان خطا، N تعداد کل گوجه‌های موجود در هر تصویر و A تعداد گوجه‌هایی است که توسط این الگوریتم‌ها به‌طور صحیح تشخیص داده شده‌اند.

نتایج و بحث

با توجه به ارزیابی عملکرد الگوریتم متوسط خطای الگوریتم‌های آستانه‌یابی در فضای رنگی HSI، رابطه قرمز / سبز در فضای رنگی RGB و انحنای تصویر در فضای رنگی YCbCr به ترتیب $11/82$ ، $11/85$ و $10/03$ درصد بود. برای نمونه نتیجه بررسی عملکرد روش آستانه‌یابی در فضای رنگی HSI در شکل ۳ نشان داده شده است.

نتایج نشان می‌دهد که این الگوریتم‌ها از دقت کافی کاربرد در ربات گوجه چین برخوردارند. میزان خطا در تشخیص بافت سبز رنگ در سیب‌زمینی در فضای رنگی RGB در مقایسه با مقدار واقعی $5/26$ درصد گزارش شد (Ebrahimi *et al.*, 2011). دقت بیشتر در تشخیص بافت سبز رنگ سیب‌زمینی نسبت به درصد رسیدگی گوجه‌فرنگی در این مقاله، به دلیل انجام آزمایشات بر روی سیب‌زمینی در شرایط نوری کنترل شده، می‌باشد. نتایج عملکرد سه الگوریتم از تصاویر پردازش شده محصول در جدول ۱ نشان داده شده است. بهترین نتایج، در الگوریتم احنا و در فضای رنگی $9/3$ YCbCr (درصد) و الگوریتم ارتباط قرمز / سبز در فضای رنگی RGB (درصد) بهدست آمد. میزان خطای الگوریتم آستانه‌یابی (فضای رنگی HSI) در تقسیم‌بندی 25 درصد بود. تشخیص سبب بر روی درخت



شکل ۳- بررسی عملکرد الگوریتم آستانه‌یابی در شناسایی گوجه‌ها با 50 درصد قرمزی و بیشتر

Fig.3. Performance evaluation of thresholding algorithm in detection of tomatoes above 50% ripeness

جدول ۱- نتایج تشخیص گوجه‌فرنگی از پس زمینه توسط الگوریتم‌های مکان‌بایی

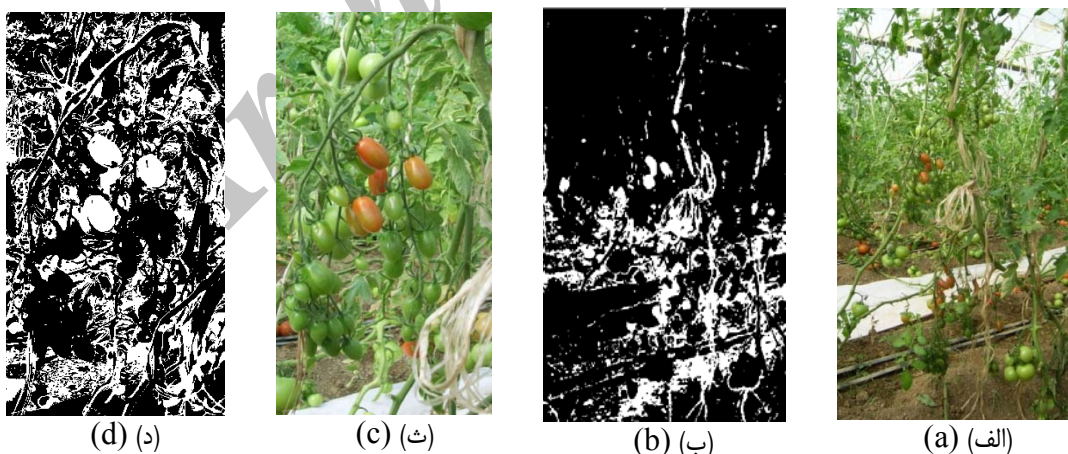
Table 1- Result of recognizing tomatoes from background with fruit-tomato location algorithm

الگوریتم رابطه قرمز / سبز Red/Green Relation		الگوریتم انحنای تصویر Curvature of the Image Surface				الگوریتم آستانه بایی Thresholding				تعداد بوته‌ها Plant numbers
نادرست (%)	درست (%)	تعداد میوه عدد میوه	تشخیص درست (%)	تشخیص نادرست (%)	تعداد میوه عدد میوه	تشخیص درست (%)	تشخیص نادرست (%)	تعداد میوه عدد میوه	تشخیص درست (%)	
Incorrect detection (%)	Correct detection (%)	Detected fruits (%)	Incorrect detection (%)	Correct detection (%)	Detected fruits (%)	Incorrect detection (%)	Correct detection (%)	Detected fruits (%)	Detected fruits (%)	
16	84	63	4	96	45	25	75	64	1	
2	98	93	6	94	51	26	74	89	2	
9	91	69	22	78	45	24	76	65	3	
10	90	78	7	93	54	25	75	77		دقت نهایی (%) Final accuracy (%)

جدول ۲- نتایج دقت سامانه بینایی در تشخیص دمیرگ گوجه‌فرنگی گیلاسی

Table 2- Result of vision system for detection of peduncle of cherry tomato

تعداد عدم تشخیص دمیرگ	تعداد خطا در تشخیص دمیرگ	تعداد گوجه تشخیص داده شده با +۵۰ درصد قرمزی	شماره بوته (تصادفی) Plant Number (randomly)
Not detected petiole	Fault diagnosis of petiole	Detected tomato with 50% redness	
0	1	2	1
1	0	3	4
1	2	6	13
0	1	3	19
0	0	1	27
13.3	26.7		درصد Percent



شکل ۴- تشخیص گوجه‌فرنگی در تصویر: (الف) تصویر اولیه از فاصله ۱۳۵ سانتی‌متری، (ب) تصویر خاکستری فضای YCbCr از فاصله ۱۳۵ سانتی‌متری، (ث) تصویر اولیه از فاصله ۵۵ سانتی‌متری، (د) تصویر خاکستری فضای RGB از فاصله ۵۵ سانتی‌متری

Fig.4. Tomato detection in image: (a) Raw image from 135cm, (b) YCbCr gray level image from 135cm, (c) Raw image from 55cm, (d) RGB gray level image from 55cm

نتیجه‌گیری

نتایج نشان داد فضای رنگی YCbCr و الگوریتم انحنای سطح تصویر در تمايز گوجه‌فرنگی رسیده از زمینه موفق می‌باشد. این سامانه را می‌توان بر روی ربات گوجه چین نصب نمود و به صورت برخط^۱ عمل برداشت را انجام داد.

در این مقاله به بررسی یک سامانه بینایی جهت تشخیص گوجه‌فرنگی در شرایط نور طبیعی پرداخته شد. در این سامانه، تصویر در سه فضای رنگی پردازش گردید و از سه الگوریتم تشخیص محصول از پس زمینه استفاده شد تا بتوان دقیق‌ترین روش را برگزید.

منابع

- Anonymous. 2010. Annual report of agriculture ministry of Iran.
- Asada and Aslutayn. 1997. Analyze and Control the Robot. Translated by Koraym Habib nejad. Published by University of Science and Technology. (In Farsi).
- Ebrahimi, E., K. Mollazadeh, and A. Arefi. 2011. Detection of greening in potatoes using image processing techniques. American Science, 7: 243-247.
- Hannan, M. W., and T. F. Burks. 2004. Current developments in automated citrus harvesting. American Society of Agricultural Engineers (ASAE) Paper no. 043087.
- Hayashi, S., K. Shigematsu, S. Yamamoto, K. Kobayashi, Y. Kohno, J. Kamata, and M. Kurita. 2010. Evaluation of a strawberry-harvesting robot in a field tests. Biosystem Engineering, 105: 160-171.
- Huang, Y. J., and L. Fang-Fan. 2010. An automatic machine vision guided grasping system for Phalaenopsis tissue culture plantlets. Computer and Electronic in Agriculture, 70: 42-51.
- Jian-jun, Y., M. Han-ping, and Z. Su-yu. 2009. Segmentation of fruit image based on color difference. Communication and Computer, 6(7): 40-45.
- Kohan. 2011. Robotic harvesting of Rosa Damascena using spectroscopic machine vision. Faculty of Agricultural Machinery Engineering. Islamic Azad University, Science and Research Branch, Tehran. (In Farsi).
- Lak, M. B., S. Minaei, J. Amiriparian, and B. Beheshti. 2010. Apple fruit recognition under natural luminance using machine vision. Food Science and Technology, 2(6): 325-327.
- Monta, M. 2000. Robot for bioproduction systems. 2nd IFAC/CIGR International workshop on Bio-Robotics, Information Technology and Intelligent Control for Bioproduction Systems. Osaka, Japan.
- Otsu, N. 1979. A threshold selection method from gray-level histograms. IEEE Transactions on Systems, Man, and Cybernetics 9(1): 62-66.
- Rahafrooz, A. 2006. AVR microcontrollers and its applications. NAS Pub. (In Farsi).
- Rath, T., and M. Kawollek. 2009. Robotic harvesting of Gerbera Jamesonii based on detection and three dimensional modeling of cut flower pedicels. Computer and Electronic in Agriculture 66: 85-92.
- Tabb, A., D. Peterson, and J. Park. 2006. Segmentation of Apple fruit from video via background modeling. American Society of Agricultural and Biological Engineers. Paper no. 063060.
- Tanigaki, K., T. Fujiura, A. Akase, and I. Imagawa. 2006. Cherry harvesting robot, Preprints of 3rd IFAC International Workshop on Bio-robotics, 254-260. Information Technology and Intelligent Control for Bioproduction Systems, Sapporo Japan.
- Ting, K. C., G. A. Giacomeli, and S. J. Shen. 1990. Robot workcell for transplanting of seedlings. Transactions of the ASAE 33.
- Turcco, E. and A. Verri. 1998. Introduction techniques for 3-D computer vision. Prentice Hall.